

## II-7 鉄道橋の実働荷重と疲労設計

東京都立大学 伊藤文人

### 1. はじめに

鉄道橋の実働活荷重は、道路橋などにくらべて標準設計活荷重に近い大きな値のものが常時頻繁に作用するので、鉄道橋の部材を設計するにあたって疲労の問題を考慮する必要がある。このことは古くから知られていたところであるが、溶接構造が用いられるようになってから、とりわけその重要性が高められた。良く知られているとおり、鉄道橋の設計標準では種々の繰りを5つのクラスにわけ、それぞれに疲労許容応力度を定めている。

しかし、最近F.P. Drewも指摘しているとおり、鉄道橋の部材に生じる実働応力の頻度分布は橋梁の支間と車両の軸距に深い関係を持つことが知られてきた。<sup>1)2)</sup> このことは機関車牽引を主体とする既往の鉄道と、荷重の分散している電車を主体とする鉄道とでは、幾らか考え方をあらためる必要のあることを意味するように思われた。そして現在國鉄の新幹線では疲労寿命を考えに入れた新らしい概念を採り入れ、在来線とは多少異なった許容応力度のシステムを用いている。<sup>3)</sup>

ここではその考え方の基礎を紹介し、幾つかの事項について多少の説明を加える。

### 2. 鉄道橋の実働列車荷重

列車の通過にともなう橋梁部材の時間的応力変動経過は、静的な計算から求めることのできる静的波形と、動的な影響による振動波形の和と見なすことができるが、主部材では一般に後者は振幅が静的最大値にくらべて小さく、多くの場合その1/3以下である。そこで、もしS-N曲線が

$$\log S = \log C - k \log N \quad (1)$$

の形であらわされるものとすると、静的応力 $S_s$ と動的応力 $S_d$ の疲労被害 $D_s$ と $D_d$ の比は

$$\frac{D_d}{D_s} = \left( \frac{S_d}{S_s} \right)^{\frac{1}{k}} \quad (2)$$

であらわされる。左の値は普通0.2程度であるから、 $S_d/S_s < 1/3$  なら  $D_d/D_s < 0.004$  となる。すなわち動的な影響は静的波形にくらべて極めて小さく、疲労に着目する限り主部材では静的波形の影響が支配的であると考えなければならない。

単純支持桁の曲げモーメント影響線を用いて種々の車軸配置を持つ列車が通過するときの静的波形を計算して見れば容易にわかるように、静的波形の山と谷の現われ方は橋梁支間と車軸配置に大きく支配され<sup>2)3)4)</sup>、一般に支間の短かいほど、軸距の大きいほど応力変動波の繰り返し回数が多くなる傾向が認められる。通常の列車速度の範囲内では、振動波形の影響は最大応力範囲を大きくするが、主部材では繰り返し数についてはあまり大きくなりない。したがつて、最大応力範囲には動的影響を含んだ値を考え、応力の繰り返し数については静的波形だけで計算しても大差がないのである。

2軸ボギー台車を持つ電車列車について計算して見ると、支間がボギー固定軸距より短かいと繰り

返し数は車輪数に一致し、車両連結部がギヤー台車中心間隔と支間が一致するあたりではボギー台車の数に、車体の台車による支持間隔と支間が同程度では車両数とほぼ一致する。支間が車体長さを越えると、繰り返し数はほとんど列車数にひとしくなる。その間では必ずしも各の車両同じ値にならないので、疲労被害が同じ値になるように換算した繰り返し数（等価繰返数）を用いることにはすれば、等価繰返数は一定の列車に対して支間の連続1回転数になる。

機関車牽引の列車では、機関車の軸重が他の車両の軸重にくらべて大きいので、ほとんどの支間で等価繰返数はほとんど列車数またはその2倍程度にとどまる。なお短支間橋では、レール端による荷重の分散効果のために、実測波形から求めた等価繰返数は計算値よりかなり小さい事が知られている。

### 3. 等価繰返数

変動荷重を受ける部材の疲労寿命の推定法には古くから多くの提案があるが、最も実用的であるのは直線累積被害法則が成り立つと仮定する方法である。もし疲労に関するS-N曲線が式(1)であらわされ、定数Cおよびをが応力比R =  $\sigma_{min}/\sigma_{max}$  の関数であるならば、1列車の通過における最大応力範囲を  $S_o$ 、他の応力範囲を  $S_i$  ( $i=1, 2, \dots$ ) とし、それに対しても  $C_i$ 、 $\eta_i$  が知られていれば、等価繰返数  $n_e$  は  $S_i$  の生じた回数を  $n_i$  として

$$n_e = \sum_{i=0}^{\infty} n_i \left[ \frac{S_i}{C_i} \right]^{\eta_i} \left[ \frac{C_o}{S_o} \right]^{\eta_o} \quad (3)$$

であたえられる。もし平均応力の影響を無視することにすれば式(3)は

$$n_e = \sum_{i=0}^{\infty} n_i \left[ \frac{S_i}{S_o} \right]^{\eta_i} \quad (4)$$

となる。あらかじめCおよび他の関数形を定めておくことができれば、電子計算機に式(3)の計算を実行させることに大した困難は無い。この関数形を決めるための資料は充分とは言えないが、必要なならを定数とし、Cは耐久限度線図から決めることにすれば近似的には差し支えないであろう。しかし多くの場合、応力比が正の範囲で引張部材の疲労強度におよぼす平均応力の影響は比較的小さいから、実用上は式(4)で充分であろう。またそのようにすれば疲労設計に在荷重の影響を考慮する煩わしさを避けることができる。

問題はむしろ実働波形を頻度解析する方法にある。J.G.WhitmanとD.Webberも指摘しているとおり使う方法によって同じ原波形から得られる応力頻度分布に差が生じる<sup>5)</sup>。したがって実働荷重による疲労寿命推定法の妥当性については、用いられた頻度解析法の適否を除外して考えることはできない。実は実働波形がいわゆる「両振り変動波形」であれば、これまで知られているどの方法を用いても結果の差がほとんど無いので、その場合にはこの問題が重要でなくなる。しかし鉄道橋の主部材に生じる応力波形は、どう見てもランダムな両振り変動波の範疇に入るものではなく、したがって頻度解析法の選択は結果に無視できない影響を持つ。疲労寿命を推定すると言う目的と、式(1)であらわされる疲労強度の特性から考えると、合目的的な頻度解析法は少なくとも大きな応力変動範囲を正しく捕えられるものでなければならない。その意味で「応力範囲計数法」、「雨打れ法(雨水流下法)」などが良いと考えられる” A.R.StefanikとW.H.Munseliは、実験的にも雨打れ法が他にくらべて良い結果

を示すことを、最近報告している<sup>6)</sup>。

なお、実効応力波形に現われる極大値と極小値をその発生順に並べた数列を用いれば、電子計算機によつて応力範囲計算法や雨打れ法と同等な頻度解析結果を求めることが容易であり、またこの場合には平均応力の影響を考慮してすべての変動範囲を例えれば片振りに換算して整理することができる。

#### 4. 異種列車の混在する場合の耐用年数

前項の方法で求められた1列車当りの等価繰返数は、その列車による最大応力範囲と組になつてゐるが、列車の種別が幾通りもある時は、第j番目の列車についての最大応力範囲  $S_{pj}$  および等価繰返数  $n_{pj}$  はそれぞれ他の列車とは異なる値を持つであろう。それらをそのままにしておいたのでは不便であるから、すべて標準設計活荷重による設計上の計算応力変動範囲に換算してやるのが良い。すなわち、設計活荷重による静的最大応力(範囲)を  $S_{ps}$ 、設計衝撃率を  $i_p$  とすれば、設計最大応力範囲  $S_p$  は

$$S_p = S_{ps} (1 + i_p) \quad (5)$$

である。これに対し、衝撃を含む実効列車による最大応力範囲は  $S_{pj}$  であるから、第j列車の年間通過本数を  $n_{pj}$  とすれば、  $S_p$  に換算した1年当りの等価繰返数  $n_d$  は

$$n_d = \sum_{j=1}^k \left( \frac{S_{pj}}{S_p} \right)^{\frac{1}{k}} n_{pj} n_{dj} \quad (6)$$

になる。したがつて、応力  $S_p$  のみの繰り返しによる疲労寿命  $N_p$  から、推定される耐用年数  $T$  は

$$T = \frac{N_p}{n_d} = \frac{1}{n_d} \left( \frac{C_p}{S_p} \right)^{\frac{1}{k}} \quad (7)$$

で与えられる。したがつて始めに所要耐用年数  $T$  が与えられていれば許容応力範囲は

$$S_p \leq \frac{C_p}{(T n_d)^k} = \bar{S} \left( \frac{2 \times 10^6}{T n_d} \right)^k \quad (8)$$

となるように決めておけば良い。ここに  $\bar{S}$  は丁度  $2 \times 10^6$  回で疲労寿命に達するような応力度である。従来鉄道橋の疲労許容応力度は上式の引を基準にして定められていたので、それと同等な安全率を持たせるものとすれば、従来の許容応力度を  $\sigma_{fa}$ 、疲労寿命を考慮した許容応力度を  $\sigma_{fa}^*$  として

$$\sigma_{fa}^* = \left[ \frac{2 \times 10^6}{T n_d} \right]^k \sigma_{fa} = \alpha \sigma_{fa} \quad (9)$$

とすれば"良いこと"になる。國鐵の全國新幹線網建造物設計標準においてはN荷重を基準にして上記の係数  $\alpha$  を定める方式を採用している<sup>3)</sup>。

トラス部材では部材力の変動範囲  $A_f$  が与えられれば、式(10)は所要断面積  $A_f$  を与える式

$$A_f \geq \left[ \frac{T n_d}{2 \times 10^6} \right]^k \frac{P}{\sigma_{fa}} = \frac{1}{\alpha} \frac{P}{\sigma_{fa}} \quad (10)$$

と同等であつて、場合によつてはこの式(10)の方が設計上便利なこともあるであろう。本州四國連絡橋鋼上部構造研究小委員会では式(10)を用い、係数  $1/\alpha$  を「断面積割り増し率」と呼んでいる<sup>7)</sup>。

## 5. 耐用年数の推定に関する二・三の問題点

これまで述べてきた方法によつて実際列車荷重による応力変動波形から、一応疲労寿命の推定が可能であり、また遂に所要の寿命を持つ鉄道橋の疲労設計ができるわけである。しかし推定された寿命は以下に述べるような要因に影響されており、かなりのバラツキを持つものであるから、實際にこれを適用する場合に注意する必要があろう。

### (イ) S-N曲線のバラツキ

一般に疲労強度はバラツキが大きく、これを無視する説にゆかない。疲労寿命のバラツキは一般的Weibull分布に従がうと言われているが、そのバラツキの影響は耐用年数Tのバラツキの要因の一つである。例へば当初用ひるS-N曲線に50% 非破壊確率の線図をすべての応力範囲に採用し、他の要因による偏りが無いとすれば、得られたTは多分50% 非破壊確率寿命であろう次、それだけでは知識として不充分であろう。始め95% 非破壊確率のS-N曲線を用いて得られるTの非破壊確率がやはり95% であると言う保証は必ずしも得られると限らないようと思われる。この辺を明らかにするのは将来的な問題である。

### (ロ) S-N曲線の形状

普通S-N曲線は疲労試験片の「破断」で整理されているが、最近では「キレツ発生」で整理されたものを使うべきだと言う考え方がある。また実験的にも定応力疲労試験であらわれれる疲労限度は無視した方が良いと言われているが、疲労限以下のS-N曲線の取り扱い方にについてはまだ問題が無いわけではない。實際、鉄道橋に生じる応力変動の大部分はこの領域にあるので、重要な問題である。

### (ハ)速度の影響

プレートガーダーの実測波形から得られた等価繰返数はあまり速度による影響を示さなかつたが<sup>22</sup>、特殊な構造や部材では共振によると思われる等価繰返数の速度依存性が見受けられた例がある<sup>23</sup>。これまで知られている範囲ではこの影響が極端に大きい説では無いが、将来超高速鉄道の建設が具体化するような場合には、注意する必要があろう。

### (ニ)軸重のバラツキ

新幹線こだま号の乗車効率が対数正規分布に従がうと見なせること<sup>24</sup>からも知られるように、同一形式の列車でも軸重は一定で無い。これはS<sub>o</sub>のバラツキになつてあらわれるが、式(6)から判るように、いきなりS<sub>o</sub>の平均値を用いるのは正しくない。むしろ(S<sub>o</sub>)<sup>1/e</sup>の平均値を使う方が正しく、また理論的にはm<sub>eq</sub>のバラツキを同時に考慮してやるべきものである。

### (ホ) 列車編成のバラツキ

在来線の電車では、同種のものでも編成両数や編成に用いる車両形式が必ずしも一様でないことがある。この影響は短支間橋梁にあらわれ、S<sub>o</sub>およびm<sub>eq</sub>のバラツキの原因になる。量的にはあまり大きくなから設計上は多少安全側に見込んでおけばカバーできるが、東海道新幹線のように運営開始後に予定以上の長大編成に変更することは、電車専用線では明らかに疲労寿命に影響する可能性があることを承知しているべきであろう。

### (ヘ) 列車の数と混合割り合

もともと寿命中の列車形式、列車数およびその混合割り合いは予測の問題であり、しかも橋梁では

きわめて長期の予測を必要とするから、必然的にかなり不確実にならざるを得ない。したがつて多少安全側に見ることの必要性は否定できないが、推定結果におよぼす影響が大きいので、なるべく精度の高い予測方法の得られることが望ましい。

#### (ト) 二次部材

二次部材は構造上活荷重による応力はあまり大きくないと見なされる。多くの場合この事は静的に正しいが、層々動的には正しくなくなる。すなわち静的波形の変動が極めて小さいのに、振動はかなりはげしい場合がある。この場合は主部材について述べた始めの仮定がまったく成り立たないので、静的な計算から等価線返数を推定することは無意味であり、現在のところ、列車の走行によつて個々の部材に生じる振動を正確に把握する解析法が見当らないので、実測によるしか無いように思われる。一般に二次部材の損傷は橋梁に致命的な結果を与えると考えられるが、床組部材の連結部などでは応力的に上記の意味で二次部材と類似した部分もあるので、そのような位置については注意しなければならないであろう。

### 6. 複線橋梁

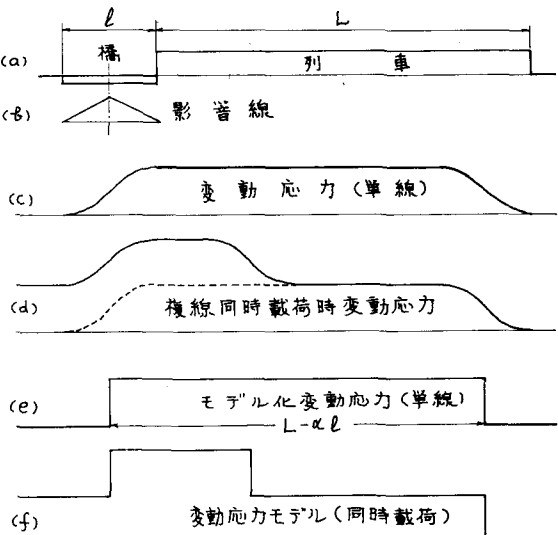
これまで述べてきたことは単線橋梁であることを暗黙に前提としていたが、複線橋梁では上下線の列車が同時に問題の橋梁に載る可能性を考えなければならない。

いま仮に列車の通過時刻がまったくランダムであるとし、支間は1車両長より長く等価線返数は1と見なして良いものとする。列車は電車編成で近似的に等分布荷重と見なせるものと考えよう。列車長を $L$ 、支間を $l$ とする[図(a)]。この時図(b)のような影響線に対して単線のみの載荷では図(c)のような応力変動波形になるが、その通過中に反対側車線にも列車が入ると応力は重ね合わされて図(d)の実線のようになる。すなわち最大応力範囲が片線載荷のときより大きくなるが、等価線返数は1のままである。この特性を簡単のために図(e)および図(f)のようにモデル化することにしよう。重なりが少ない時には応力の最大値は充分に大きくはならないのでモデル化した応力持続区間長は $\beta$ を0から1の間の適当な定数として( $L-\beta l$ )とすれば良いのであるが、ここでは安全側に簡単化して $\beta=0$ としておく。

列車の速度をひとすれば、単線載荷で応力が持続している時間は

$$\tau = \frac{L}{v} \quad (12)$$

である。いま、線路1の1日当たり列車回数を $n$ 、通過時間 $t$ 、1日中の営業運転時間を $T$



応力変動波形のモデル化

とすると、時間  $T_c$  の間橋梁上に列車が存在する時間は、線路 1 について  $\tau(n_1, t_1)$  である。

ここで線路 2 に通過時間  $t_2$  の列車をまつたくランダムに 1 本通すと、それが線路 1 の列車と同時載荷を起こす確率  $p(1)$  は

$$p(1) = \frac{n_1(t_1 + t_2)}{T_c} \quad (13)$$

である。さらに線路 2 に同種の列車を通過させるものとすると、その列車は  $n_1$  の列車と同時刻に同じ場所に居ることができないので当然それが線路 1 の列車と同時載荷を起す確率は遷ってくる。しかし  $T_c$  にくらべて  $t_1$  や  $t_2$  が充分に小さい場合には、線路 2 を通過する列車数を 1 日当たり  $n_2$  本としたとき、同時載荷を生じる回数の期待値  $n^*(n_1, n_2)$  は

$$n^*(n_1, n_2) = \frac{n_1 n_2 (t_1 + t_2)}{T_c} \quad (14)$$

になる。したがって疲労寿命の推定には線路 1 の単線載荷 ( $n_1 - n^*$ ) 回、線路 2 の単線載荷 ( $n_2 - n^*$ ) 回、同時載荷  $n^*$  本の 3 種類があるものとして計算すれば良い。例えば  $L_1 = L_2 = 200\text{ m}$ ,  $v_1 = v_2 = 100\text{ km/h}$ ,  $n_1 = n_2 = 200$ ,  $T_c = 20\text{ 時間}$  として計算すると  $n^* = 0.125$  本となる。

この計算は列車運転ダイヤがまつたくランダムであると仮定した上で、運転時分の正確さを誇るわが国の実情から遠いものとも考えられよう。事実、運悪く列車がダイヤの上でずれ違う位置にあると考えて行なった計算では、上と類似した條件で片側線路通過列車の半数以上が橋梁上で反対側の列車とずれ違うと言う結果が得られている。<sup>8)</sup>しかし、これはその位置以外の橋梁上でずれ違うの生じる可能性が絶無に近いことになり、問題は当面の橋梁上でずれ違うようなダイヤを組まれる確率にある。現実には橋梁の寿命から見てダイヤ改正の回数も少くないので、上記の程度の仮定で考えていて良いように思われる。

## 7. あとがき

鉄道橋の実働列車荷重と、それを考慮した疲労設計の現在の基礎知識を紹介し、あわせてその中に含まれている二・三の問題について述べた。今後さらに合理化される余地は少なくない。

## 8. 参考文献

- 1) F. P. Drew : Proc. A.S.C.E., ST 12, Dec., 1968, pp. 2713/2724.
- 2) 伊藤：鉄道技術研究報告, No. 676, 1969年, 4月。
- 3) 伊藤, 近藤, 阿部: 構造物設計資料, No. 32, 1972-12, pp. 1344/1348
- 4) 伊藤, 田島: JSSC, Vol. 5, No. 43, 1969, pp. 3/12
- 5) Whitman, Webber: Proc. Conf. Welded Structures, Welding Inst. Vol. 2, 1971, pp. 321/327
- 6) Stefaniuk, Munse: Dept. Civil Engg., Univ. Illinois, May 1975
- 7) 土木学会: 本州四国連絡橋鋼上部構造に関する調査研究報告書, 別冊2, 昭和49年3月
- 8) 伊藤: 鉄道技術研究所速報, No. 70-12, 昭和45年2月